

اثر شبیب اولیه سازه بر میزان سرریزی امواج از دیوارهای ساحلی شکل‌پذیر

هومن صاعدي^۱، مهدى شفيعى فر^{۲*} و پیمان آق‌تومان^۳

^۱دانش آموخته کارشناسی ارشد سازه‌های هیدرولیکی دانشکده فنی (عمران) - دانشگاه تربیت مدرس

^۲دانشیار دانشکده مهندسی عمران و محیط زیست - دانشگاه تربیت مدرس

^۳عضو هیأت علمی مرکز تحقیقات حفاظت خاک و آبخیزداری وزارت جهاد کشاورزی

(تاریخ دریافت ۱۵/۱۱/۸۴، تاریخ دریافت روایت اصلاح شده ۲۸/۷/۸۹، تاریخ تصویب ۱۴/۹/۸۹)

چکیده

در این تحقیق با استفاده از مدل سازی فیزیکی، تأثیر شبیب اولیه سازه بر میزان سرریزی امواج نامنظم دریا از دیوارهای ساحلی توده سنگی شکل‌پذیر بررسی شده است. امواج تأثیردهد شده به مدل سازه، نامنظم و طیف انرژی امواج به کار رفته JONSWAP بوده است (اجرا شده در فلوم موج مرکز تحقیقات حفاظت خاک و آبخیزداری وزارت جهاد کشاورزی). برای بررسی تأثیر شبیب دیوارهای ساحلی، شبیه‌های سازه‌ای امواج تأثیردهد شده به سازه ۱۰۰۰ موج بوده و در مجموع ۵۷ آزمایش انجام شده است. نتایج به دست آمده از آزمایش‌ها پس از رسم نمودارها، مورد تجزیه و تحلیل قرار گرفته و تأثیر شبیب اولیه سازه بر میزان سرریزی امواج بررسی شده است. نتایج بیانگر آن است که شبیب اولیه تأثیر قلل توجهی بر میزان سرریزی از دیوارهای شکل‌پذیر ندارد، هر چند که با کاهش شبیب اولیه سازه، دبی میانگین سرریزی امواج اندکی کاهش می‌یابد.

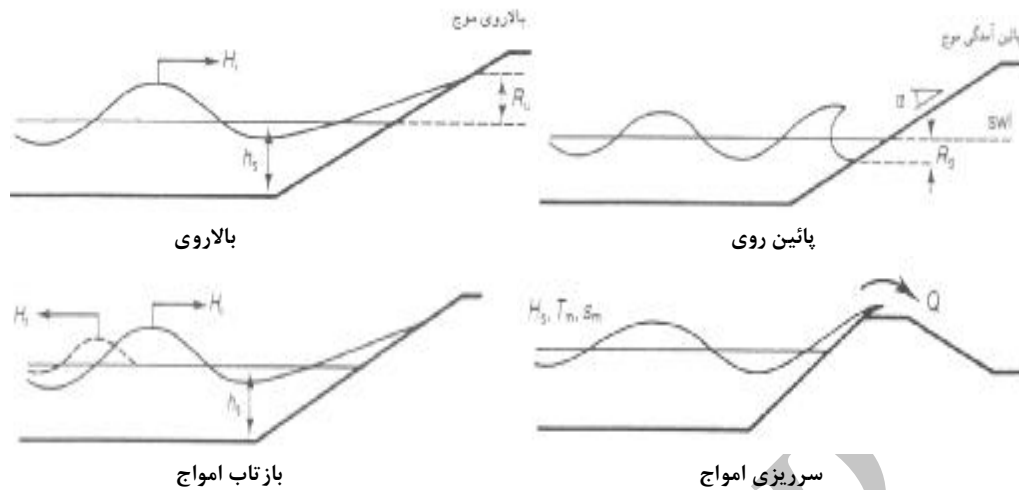
واژه‌های کلیدی: سرریزی امواج، دیوارهای ساحلی شکل‌پذیر، مدل فیزیکی

مقدمه

هیدرولیکی این دیوارها اطلاعات زیادی موجود نیست. عوامل حاکم در طراحی دیوارهای ساحلی به سه دسته کلی عوامل محیطی (مربوط به موج)، عوامل هیدرولیکی و عوامل سازه‌ای تقسیم می‌شوند. میزان سرریزی امواج، یکی از عوامل هیدرولیکی مهم و تعیین‌کننده در طراحی دیوارهای ساحلی بوده که در تحقیق حاضر مورد بررسی قرار گرفته است. میزان سرریزی امواج از سازه‌های ساحلی که تعیین‌کننده میزان آسیب ناشی از آن به سازه و تأسیسات پشت آن است، یکی از عوامل مهم هیدرولیکی در طراحی دیوارهای ساحلی است که مشخصات هندسی سازه مانند تراز تاج سازه را می‌توان با استفاده از آن مشخص کرد. با افزایش ارتفاع تاج، نرخ سرریزی امواج کاهش می‌یابد، اما افزایش ارتفاع تاج منجر به تغییر هندسه سازه و افزایش حجم عملیات اجرایی شده و منجر به افزایش هزینه‌های پروژه می‌شود. به عبارت دیگر، طراحی این سازه‌ها بر این مبنای که در طول عمر این سازه هیچ موجی از روی تاج آن سرریز نکند، باعث صرف هزینه‌های بسیار زیاد و تا حدی

دیوارهای ساحلی، سازه‌هایی هستند که به موازات و نزدیک خط ساحلی برای حفاظت از ساحل و تأمین امنیت ساختمان‌ها و تأسیسات ساحلی مورد استفاده قرار می‌گیرند. دیوارهای ساحلی از نظر شکل و نوع مصالح به کار رفته در آنها به انواع مختلفی تقسیم می‌شوند که دیوارهای ساحلی توده سنگی یکی از آنها است. این نوع دیوارها خود به دو دسته پایدار ایستا (ستنتی) و پایدار پویا (شکل‌پذیر) تقسیم می‌شوند.

به کارگیری دیوارهای ساحلی شکل‌پذیر در بیشتر موارد نسبت به دیوارهای ساحلی سنتی اولویت دارند، زیرا در این نوع از دیوارها به دلیل مجاز بودن تغییر شکل سازه می‌توان از مصالح سبک‌تر و محدوده وسیع‌تری از دانه‌بندی استفاده کرد. از این رو می‌توان برای احداث آنها از همه مصالح خروجی قرضه استفاده کرد. همچنین، برای اجرای این نوع سازه‌ها می‌توان از روش‌های ساده‌تر و ابزار آلات سبک‌تر و در دسترس تر بهره برد. با وجود مزایا و برتری‌های دیوارهای ساحلی شکل‌پذیر که نسل جدید دیوارهای ساحلی هستند، درباره روند طراحی و عملکرد



شکل ۱: واکنش‌های هیدرولیکی سازه‌های ساحلی.

سرربزی امواج

در صورتی که تراز حداکثر بالاروی موج بیشتر از تراز تاج سازه باشد، سرربزی امواج اتفاق می‌افتد (شکل ۱)). سازه‌های ساحلی بر اساس مجاز بودن مقدار کمی "دبی میانگین سرربزی"^۱ تحت شرایط حدی موج طراحی می‌شوند که این حد مجاز، بر اساس نوع سازه و عملکردی که از آن سازه انتظار می‌رود، متفاوت است و مقدار حدی آن توسط محققان برای سازه‌های مختلف مشخص شده است. سرربزی، مقدار آب عبور کرده در واحد زمان بوده و واحد آن مترمکعب بر ثانیه [m^3/s] است. به این دلیل که اغلب مقدار آب سرربز شده به طور تقریباً یکسان در طول سازه اتفاق می‌افتد، بنابراین سرربزی اغلب به صورت مقدار دبی در واحد طول [$m^3/s/m$] تعریف می‌شود.

عامل هیدرولیکی سرربزی امواج

سرربزی موج در نتیجه بالاروی امواج از وجه رو به دریای سازه (دیوار ساحلی، موج شکن و ...) و عبور آب از روی تاج سازه اتفاق می‌افتد. آب سرربز شده ناشی از امواج به سه شکل کلی تقسیم‌بندی می‌شود:

الف- آب سبز^۲: در صورتی که حجم آب سرربز شده از روی تاج به صورت یک ورق پیوسته از آب از روی تاج عبور کند، به اصطلاح به آن "آب سبز" یا حجم پیوسته آب می‌گویند.

غیراقتصادی شدن پروژه می‌شود.

هدف از تحقیق حاضر، بررسی تأثیر شیب سازه بر میزان سرربزی امواج است. از آنجا که با کاهش شیب، میزان حجم مصالح افزایش می‌یابد، بنابراین انتخاب مناسب و بهینه شیب باعث اقتصادی شدن پروژه می‌شود.

عوامل هیدرولیکی

عوامل هیدرولیکی مطرح در سازه‌های توده سنگی در حالت کلی عبارتند از: بالاروی و پائین روی امواج، سرربزی امواج، بازتاب امواج و عبور موج (شکل ۱)). در مورد دیوارهای ساحلی که مورد بحث تحقیق حاضر است، پدیده عبور موج وجود ندارد، چرا که در پشت سازه ساحل قرار دارد.

تا کنون کارهای آزمایشگاهی زیادی برای تعیین عوامل هیدرولیکی در محدوده خاصی از شرایط امواج برای سازه‌های مختلف انجام شده است، ولی هنوز روشی جامع و کامل که از آن بتوان برای تخمین عوامل هیدرولیکی استفاده کرد وجود ندارد. بنابراین در عمل هر یک از عوامل هیدرولیکی را با استفاده از نتایج به دست آمده از سازه‌های مشابه تخمین می‌زنند که اگر در مورد آن سازه خاص اطلاعاتی موجود نباشد یا آن اطلاعات چندان قابل اعتماد نباشند، باید از نتایج آزمایش‌ها مدل فیزیکی استفاده کرد. در ادامه به اختصار عوامل هیدرولیکی دیوارهای ساحلی شرح داده می‌شوند.

روش‌های موجود برای پیش‌بینی دبی سرریزی امواج به دو روش کلی مدل‌های عددی و فرمول‌های تجربی که از آزمایش‌ها به دست می‌آیند، تقسیم می‌شوند. ولی از آنجا که پدیده سرریزی بسیار پیچیده است، هنوز یک مدل عددی که در آن همه عوامل لحاظ شده باشد و بتواند سرریزی را با دقت خوبی تخمین بزند، ارائه نشده است. مدل‌های عددی موجود هم حیطه کاربردشان به شرایط خاص محدود می‌شود.

درباره دبی میانگین سرریزی امواج محققان زیادی کار کرده‌اند که از جمله پیشگامان آن می‌توان به تحقیقات Battjes (۱۹۷۱)، Fukuda (۱۹۷۴)، Goda (۱۹۷۴) و Ahrens (۱۹۷۷) اشاره کرد.

Owen یکی از شاخص‌ترین افرادی است که روی سرریزی امواج، تحقیقاتی انجام داده است. Owen سرریزی ناشی از امواج نامنظم بر سازه‌های مسطح هموار^۵ و زیر^۶ روی شیوه‌های مستقیم و سکویی انجام داده است. [۷ و ۸]

Owen، بر اساس نتایج حاصل از آزمایش‌های مدل، فرمول زیر را برای تخمین دبی میانگین سرریزی امواج ارائه کرد:

$$Q^* = a \times e^{-bR^*} \quad (1)$$

در رابطه (۱)، a و b ضرایب ثابت^{*} دبی سرریزی بدون بعد است و R^* ارتفاع آزاد بدون بعد هستند که به این ترتیب تعریف می‌شوند: [۷ و ۸]

$$Q^* = \frac{q}{\left(\frac{g \cdot H_s}{2\pi}\right)^r} \cdot \left(\frac{S_{om}}{2\pi}\right)^{\frac{1}{r}} \quad (2)$$

$$R^* = \frac{R_c}{H_s} \cdot \left(\frac{S_{om}}{2\pi}\right)^{\frac{1}{r}} \cdot \frac{1}{\gamma_r} \quad (3)$$

در این روابط، (H_s) ارتفاع موج (میانگین $\frac{1}{3}$ بزرگ‌ترین امواج)، (R_c) ارتفاع آزاد تاج، (q) دبی میانگین سرریزی امواج، r ضریب کاهش زبری برای سازه‌های ناهموار (برای سازه‌های هموار $r=1$ است) و (S_{om}) تیزی موج است که در رابطه (۴) تعریف شده است:

$$S_{om} = \frac{2\pi H_o}{g T_m^r} T \quad (4)$$

پریود میانگین موج و H_o ارتفاع موج در آب عمیق است، شایان ذکر است که مقادیر ضرایب ثابت a و b ارائه

ب- پاشش (اسپلش^۳): هنگامی که امواج روی دیواره سازه می‌شکنند، مقداری از قطره‌های آب ممکن است تحت اثر مومنت خودشان و یا در نتیجه یک باد ساحلی از روی تاج سازه عبور کند که به این نوع سرریزی، پاشش می‌گویند.

ج- افشه (اسپری^۴): افشه یا اسپری به طور مستقیم به وسیله حرکت سریع باد روی تاج امواج به وجود می‌آید و بدون حضور بادهای ساحلی قوی این نوع سرریزی سهم بسیار کمی در حجم کل سرریزی خواهد داشت. پیش‌بینی میزان سرریزی امواج که توسط فرمول‌های تجربی انجام می‌شود، شامل حجم آب سرریز شده ناشی از قسمت (الف) و (ب) یعنی آب سبز و پاشش است و در آنها اثر افشه لحاظ نشده است؛ چرا که در آزمایش‌ها از اثر باد صرف‌نظر شده است [۱]. افشه در عین حال مهم است، چرا که می‌تواند به کالاهای انبارشده نزدیک ساحل آسیب برساند و باعث یخ‌زدگی بدنی بالایی کشتی‌ها در مناطق سردسیر شود [۲].

دبی میانگین سرریزی

از تقسیم همه حجم آب سرریز شده بر زمان کل طوفان بر واحد طول، تاج سازه به دست می‌آید. ($m^3/s/m$)

مروری بر تحقیقات انجام شده

با مطالعه سرریزی امواج از سازه‌های دریایی مشخص شده است که دبی سرریزی نه تنها به شرایط محیطی مانند ارتفاع امواج، پریود امواج و تراز ایستایی وابسته است، بلکه به شکل هندسی و نوع مصالح سازه نیز بستگی دارد. بنابراین، ترکیبات بسیار زیادی از این عوامل وجود دارد که نیاز به بررسی دارد. بنابراین اگر چه تحقیقات زیادی در رابطه با سرریزی امواج گرفته است، اما همه حالات محتمل را در بر نمی‌گیرند. هر یک از تحقیقات انجام شده تنها یک یا چند حالت خاص را بررسی می‌کند. تحقیقات انجام شده اغلب توسط مدل‌های آزمایشگاهی انجام گرفته است که نتیجه آن اغلب به یک رابطه تجربی بین شرایط محیطی، هندسی و نوع مصالح سازه و ارتباط این عوامل با دبی سرریزی منتهی می‌شود. به این دلایل تا کنون آزمایش‌های زیادی برای سرریزی انجام شده است، به طوری که تا سال ۲۰۰۲ نزدیک به ۶۵۰۰ آزمایش انجام شده است.

بر امتداد سازه هستند. به طور خلاصه Besley، رابطه زیر را در صورت برخورد امواج نرمال برای محاسبه دبی میانگین سرریزی ارائه می دهد: [۱]

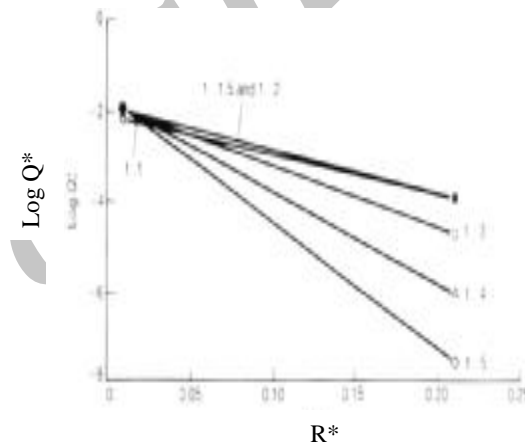
$$R^* = R_C / (T_m(gH_s)^{0.5}) \quad (5)$$

$$Q^* = A \exp(-BR^*) \quad (6)$$

$$Q = Q^* T_m g H_s \quad (7)$$

R_C ارتفاع آزاد (m)، H_s ارتفاع شاخص امواج (m)، T_m پریود میانگین امواج (S)، g شتاب ثقل (m/s^2)، ضرایب تجربی وابسته به مقطع عرضی دیوار A,B ساحلی (مقادیر ضرایب در مرجع [۱] آمده است) و Q دبی میانگین سرریزی در واحد طول دیوار ساحلی (m³/s/m). شایان ذکر است رابطه (۶) برای $0.05 < R^* < 0.30$ معتبر است.

شده توسط Owen برای شیب‌های مختلف، همگی از طریق آزمایش‌ها به دست نیامده‌اند (تنها شیب‌های ۱:۱، ۱:۲، ۱:۴ از طریق آزمایش به دست آمده‌اند، بلکه قسمتی از آنها از طریق برونویانی استخراج شده‌اند. همان‌گونه که در شکل (۲) نشان داده شده است، مشاهده‌های Owen بیانگر آن است که برای سازه‌هایی با ارتفاع تاج کوتاه و میزان سرریزی زیاد، منحنی‌های حاصل از ترسیم رابطه (۱) در یک نقطه واحد همگرا می‌شوند و نشان دهنده این موضوع هستند که در سرریزی‌های زیاد، اثر شیب سازه چندان مهم نیست. از طرفی مشاهده می‌شود که میزان سرریزی مربوط به شیب‌های مستقیم هموار نفوذناپذیر در شیب‌های ۱:۱، ۱:۱/۵ و ۱:۲ بسیار نزدیک به یکدیگر هستند.



شکل ۲: دبی سرریزی برای شیب‌های سطح یکنواخت [۷] Owen ارائه شده توسط

در آزمایش‌های مربوط به مدل‌سازی سازه‌های ساحلی نیروی غالب، نیروی ثقل است. از این رو معیار مناسب برای مدل‌سازی، معیار فرود است و نوع جریان نیز باید به طور کامل آشفته در نظر گرفته شود. باید محدوده عدد رینولدز را چنان انتخاب کرد که بتوان از اثرات نیروی لزجت صرف نظر کرد و اثر آن را به حداقل ممکن رساند. برای نیل به این هدف در انتخاب مقیاس مدل باید عدد رینولدز را کنترل کرد. Van der Meer برای کنترل رینولدز محدوده ذیل را پیشنهاد می‌کند [۱۰]:

$$1 \times 10^4 \leq Re = \frac{D_{n5} \times \sqrt{gH_s}}{U} \leq 4 \times 10^4 \quad (8)$$

D_{n5} و H_s متناظر با مقادیر مورد استفاده در مدل هستند. D_{n5} در رابطه (۸) قطری است که ۵۰ درصد مصالح، قطری کمتر از آن داشته باشند. در این تحقیق برای ایجاد تشابه سینماتیکی و دینامیکی از رابطه (۹) که اصلاح شده نسبت عدد پایداری هادسون در نمونه اصلی و مدل است، استفاده شده است:

$$\frac{W_m}{W_p} = \frac{1}{\lambda^r} \times \begin{cases} \left(\frac{\rho_{ap}}{\rho_{wp}} - 1 \right) \\ \left(\frac{\rho_{am}}{\rho_{wm}} - 1 \right) \end{cases} \quad (9)$$

در این معادله، ρ_{ap} چگالی سنگدانه‌ها در نمونه اصلی، ρ_{am} چگالی سنگدانه‌ها در مدل، ρ_{wp} چگالی آب در نمونه اصلی، ρ_{wm} چگالی آب در مدل و λ^r مقیاس (در

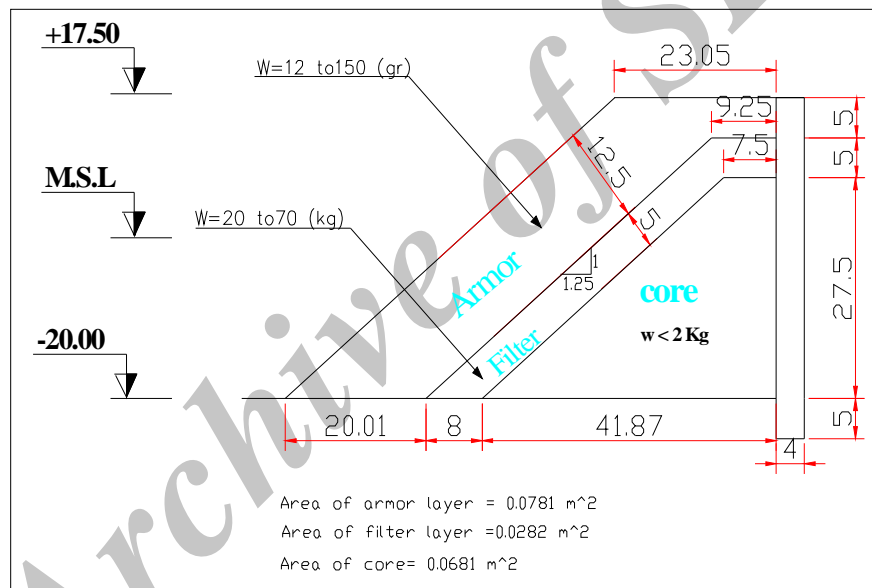
Besley و همکارانش در سال ۱۹۹۹ همه اطلاعات موجود درباره سرریزی امواج از دیوارهای ساحلی را جمع‌آوری و تدوین کردند. در راستای این هدف، آنها تعدادی آزمایش‌های تکمیلی انجام داده و برخی از فرمول‌های محققان قبلی را اصلاح کردند. آزمایش‌های Besley تکمیلی انجام داد و ضرایب Owen را اصلاح کرد. تحقیقات انجام شده نشان داد که روش Owen اغلب دبی سرریزی را برای امواج با پریود بزرگ‌تر از ۱۰ ثانیه کمی بیشتر از Owen مقدار واقعی پیش‌بینی می‌کند. به عبارتی، روش Owen محافظه‌کارانه است. Owen، آزمایش‌های زیادی درباره انواع مختلف سازه‌هایی که شیب ساده دارند، انجام داده است. شایان ذکر است، روش Owen مربوط به حالتی است که ارتوگونال‌های امواج (خطوط عمود بر تاج امواج) عمود

متر عمق دارد (شکل ۴ و ۵)، انجام شده است. امواج توسط پارویی مولد موج که از نوع پیستونی قائم است، تولید شده است. ثبت نوسانات سطح آب توسط چهار سنسور ارتفاع سنج انجام شده است که یکی از سنسورها در جلوی سازه و برای اندازه‌گیری امواج تابشی ترکیب شده با امواج بازتابی و سه سنسور دیگر برای اندازه‌گیری مقدار بازتاب در وسط فلوم نصب شدند. برای اندازه‌گیری میزان سرریزی امواج از یک بانکت و مجرای سرریزی و برای انتقال آب از مخزن سرریزی به ظرف مدرج تعیین حجم از یک پمپ کوچک استفاده شد. در مدل از گستره ارتفاع امواج بین ۶ تا ۱۲ سانتیمتر و پریودهای میانگین 0.704 s ، 1.056 s ، 1.409 s ثانیه استفاده شد و در مجموع ۵۷ آزمایش که هر یک شامل ۱۰۰۰ موج بودند، انجام شد.

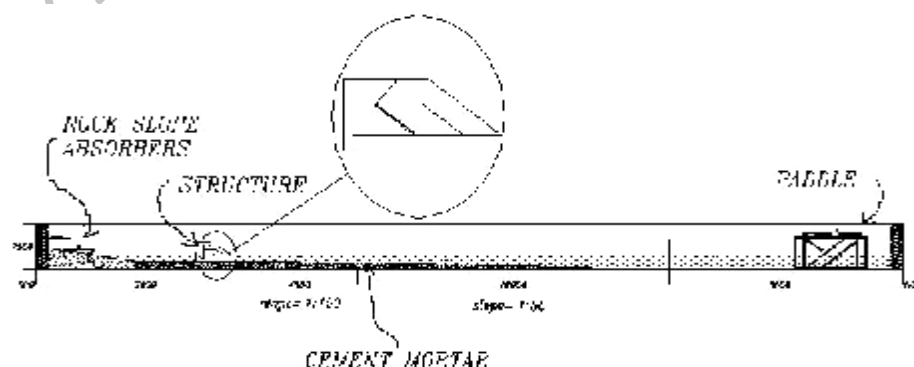
اینجا ۲۰ در نظر گرفته شده) و W وزن سنگدانه هستند. با رعایت این معیارها و قابل اغماض بودن اثر مقایسه، مقیاس $1:20$ برای آزمایش‌ها انتخاب شده است.

برپایی مدل فیزیکی و آزمایش‌های انجام شده

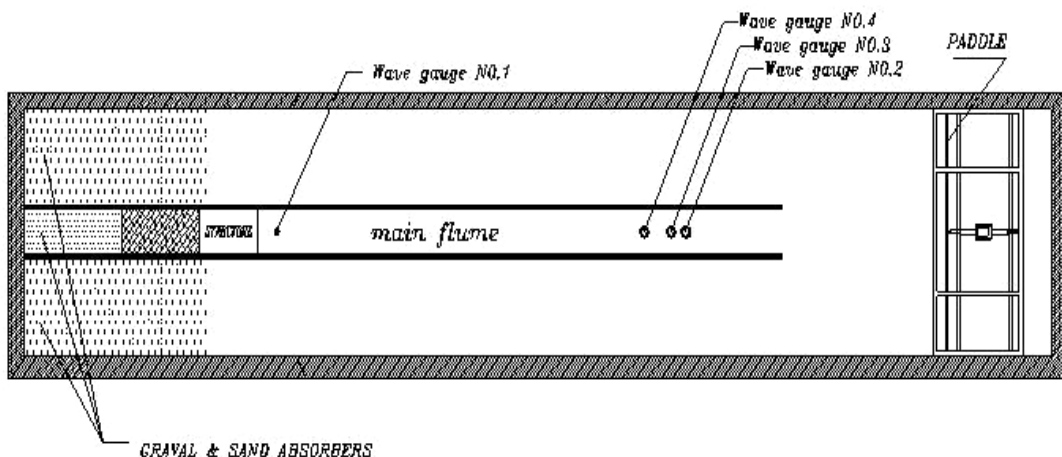
آزمایش‌های مدل فیزیکی بر مقطع دیوار ساحلی شکل پذیر طراحی شده (شکل ۳) و با طراحی ۳ شیب به ترتیب $1:1/25$ ، $1:2$ و $1:2/5$ انجام شده است. در روند طراحی و دانه‌بندی مصالح لایه آرمور با نسبت $1/82$ در نظر گرفته شده است. آزمایش‌ها در فلوم $D_{85}/D_{15} = 5/5$ موج مرکز تحقیقات حفاظت خاک و آبخیزداری وزارت جهاد کشاورزی که ۳۳ متر طول، $5/5$ متر عرض و $1/5$ متر عمق دارد انجام شد.



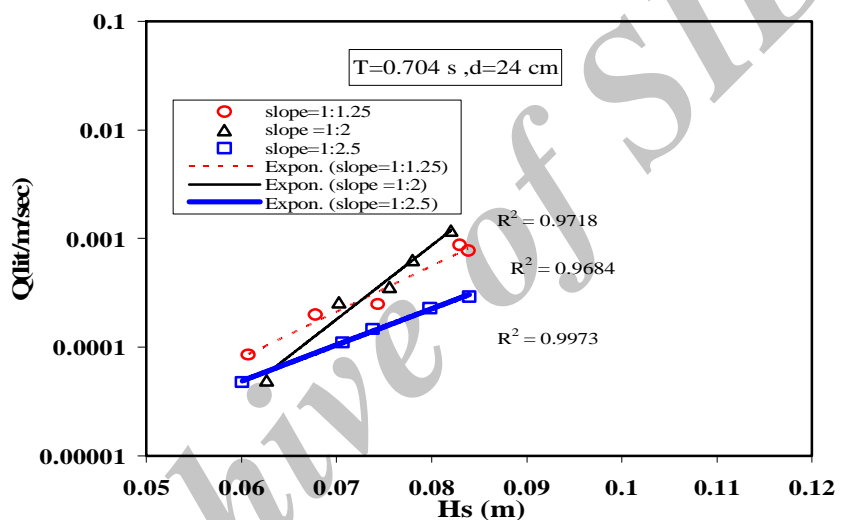
شکل ۳: مقطع عرضی مدل دیوار ساحلی با شیب $1:1/25$.



شکل ۴: مقطع عرضی فلوم موج.



شکل ۵: پلان فلوم موج.

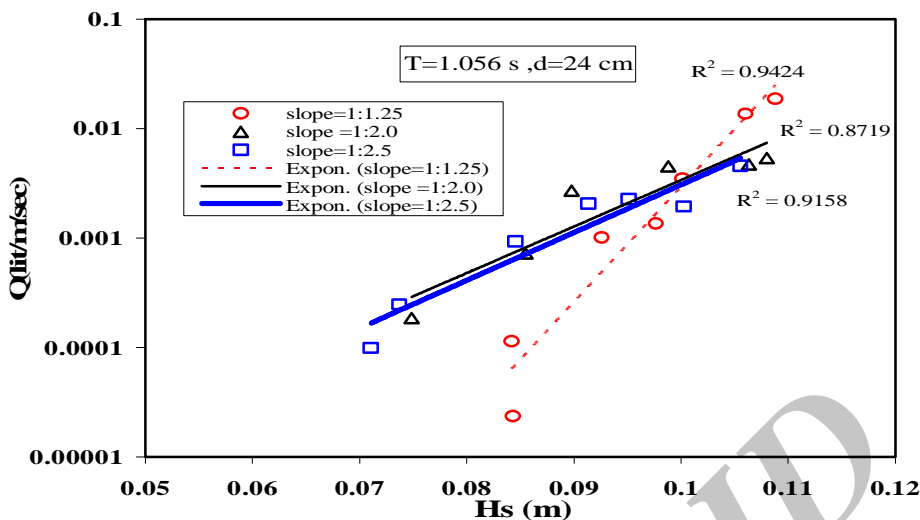
شکل ۶: نمودار Q بر حسب H_s ، به تفکیک شیب سازه، برای عمق آب ۲۴ سانتی‌متر و پریود حداً کثر ۷۰/۴ ثانیه.

می‌توان در مشاهده‌های آزمایشگاهی جستجو کرد که در این دو شیب، تاج دیوار ساحلی فرسایش نیافته و میزان تغییر شکل سازه در هر دو شیب تا حدودی یکسان است. - با افزایش پریود امواج (افزایش طول موج یا کاهش تیزی موج)، تأثیر شیب سازه بر میزان سرریزی کاهش می‌یابد. همان‌گونه که در شکل (۷) مشاهده می‌شود، مقادیر سرریزی، در شیب‌های مختلف بسیار نزدیک به هم هستند و مشاهده می‌شود که با افزایش ارتفاع مشخصه امواج، اختلاف دبی‌های میانگین سرریزی کمتر می‌شود و تا حدودی اثر شیب اولیه سازه از بین می‌رود.

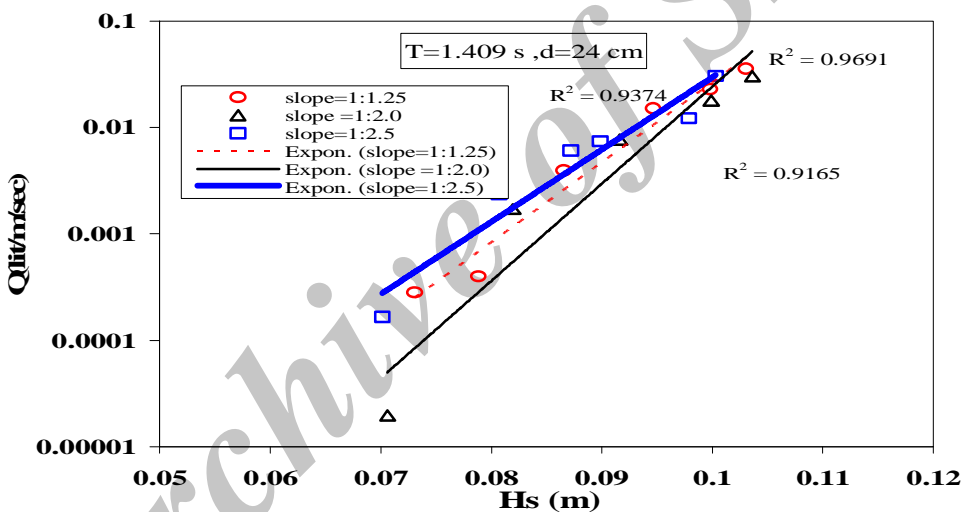
تجزیه و تحلیل نتایج

برای نشان دادن اثر شیب اولیه سازه در میزان دبی میانگین سرریزی امواج، نمودار Q بر حسب H_s ، به تفکیک شیب سازه، برای آب با عمق ۲۴ سانتی‌متر در پریودهای میانگین سرریزی ۰/۷۰۴، ۱/۰۵۶، ۱/۴۰۹ ثانیه در شکل‌های (۶)، (۷) و (۸) رسم شده است. با توجه به این شکل‌ها نتایج زیر حاصل می‌شود:

- تأثیر شیب اولیه سازه، در مقایسه با عوامل ارتفاع مشخصه امواج و پریود بر میزان سرریزی امواج کمتر است.
- تفاوت میان دبی سرریزی شیب‌های ۱:۲/۵ و ۱:۲ در پریودهای حداً کثر ۱/۰۵۶ و ۱/۴۰۹ ثانیه کم است (شکل‌های (۷) و (۸)) و دلیل آن را



شکل ۷: نمودار Q بر حسب H_s ، به تفکیک شبکه سازه، برای عمق آب ۲۴ سانتیمتر و پریود حداکثر $1/0.056$ ثانیه.



شکل ۸: نمودار Q بر حسب H_s ، به تفکیک شبکه سازه، برای عمق آب ۲۴ سانتیمتر و پریود حداکثر $1/0.409$ ثانیه.

$$Q^* = a \cdot R^{*-b} \quad (10)$$

$$R^* = \frac{R_c}{H_s} \quad (11)$$

$$Q^* = \frac{Q}{T_m g H_s} \quad (12)$$

ضرایب a و b از جدول (۱) به دست می‌آید. (از روی نمودار شکل‌های (۹) الی (۱۱) به دست می‌آیند) در شکل‌های (۹) تا (۱۱) نمودار همبستگی داده‌ها در شبکه‌ای مختلف نشان داده شده است.

برای عمومیت بخشیدن به نتایج به دست آمده مقایسه با نتایج سایر محققان، از طریق آنالیز ابعادی و استفاده از نرم‌افزار SPSS همه عوامل بدون بعد مناسب مورد تجزیه و تحلیل قرار گرفته که در نهایت مشخص شد که عوامل ارتفاع آزاد بدون بعد $R^* = \frac{R_c}{H_s}$

سرریزی بدون بعد $Q^* = \frac{Q}{T_m g H_s}$ بهترین برازش را بر داده‌ها دارد.

به این ترتیب رابطه سرریزی امواج از دیوارهای ساحلی شکل پذیر به صورت زیر به دست می‌آید:

در شکل (۱۲) همه داده‌ها به تفکیک شیب برای ارتفاع‌های آزاد بدون بعد و سرریزی‌های بدون بعد مختلف رسم شده است و نتایج زیر به دست می‌آید:

- با کاهش شیب اولیه سازه، سرریزی امواج کمی کاهش می‌یابد (دلیل آن می‌تواند به دلیل افزایش طول سطح زبری که آب باید تا قبل از سرریزی طی کند، باشد).
- تفاوت سرریزی بین شیب‌های $1:1/25$ و $1:2$ بسیار کم است (این نتیجه مشابه نتایجی است که Owen در مورد شیب‌های مستقیم نفوذناپذیر به دست آورده و در شکل (۲) نشان داده شده است).
- برای سازه‌هایی با R^* های کوچک (ارتفاع آزاد کم یا ارتفاع مشخصه امواج بلند) و سرریزی‌های زیاد، منحنی‌های حاصل از شیب‌های مختلف به یک نقطه همگرا می‌شوند و نشان‌دهنده این مطلب است که در سرریزی‌های زیاد، اثر شیب اولیه سازه از بین می‌رود.

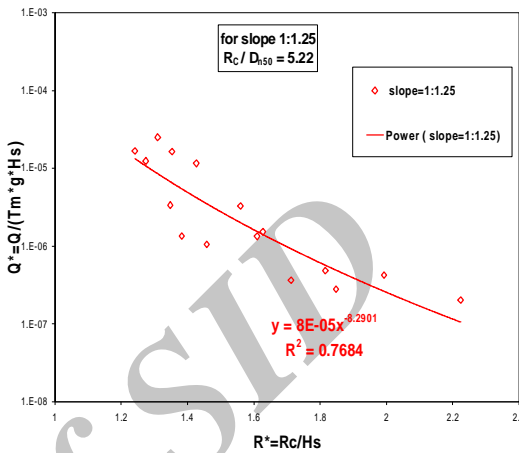
در شکل (۱۳) نمودار سرریزی بدون بعد مشاهداتی، بر حسب سرریزی بدون بعد پیشگویی شده از رابطه (۱۰) برای همه شیب‌ها ترسیم شده است. با توجه به تعداد داده‌ها و نیز ضرایب همبستگی به دست آمده، رابطه پیشنهادی (۱۰) اعتبار قابل قبولی دارد.

مقایسه با نتایج (۱۹۸۰) Owen

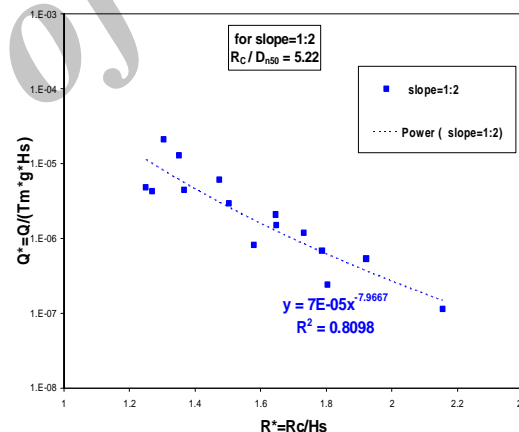
با انتخاب ضرایب کاهش زبری سطح (γ_r) ، برابر $1/5$ (از جداول موجود در مراجع ۷ و ۸) و جایگزینی آن در رابطه (۳)، R^* محاسبه می‌شود. با جایگذاری آن در رابطه (۱)، Q^* قابل محاسبه است. در ادامه مقادیر حاصل از فرمول Owen با داده‌های آزمایشگاهی حاصل از این تحقیق مقایسه شده است. با توجه به شکل (۱۴) مشاهده می‌شود که فرمول Owen (۱۹۸۰) در بیشتر نقاط، مقدار سرریزی بیشتری را نسبت به مقادیر مشاهده شده پیش‌بینی می‌کند. دلیل این اختلاف می‌تواند به دلیل شکل پذیر بودن سازه مورد مطالعه در این تحقیق باشد. زیرا روابط ارائه شده توسط Owen برای سازه‌های پایدار است، به دست آمده بود.

جدول ۱: ضرایب a و b مورد استفاده در رابطه (۱۰)، برای دیوارهای ساحلی شکل پذیر.

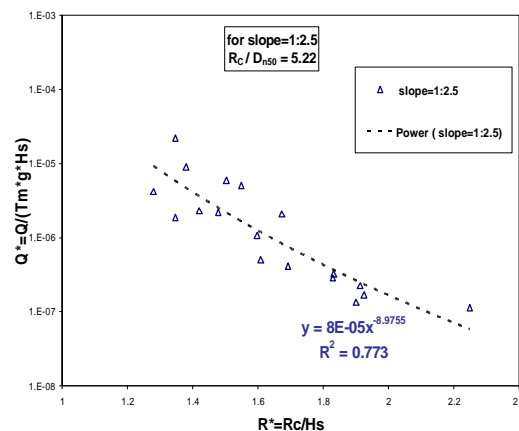
Slope	a	b
1:1.25	8×10^{-5}	8.29
1:2	7×10^{-5}	7.97
1:2.5	8×10^{-5}	8.98



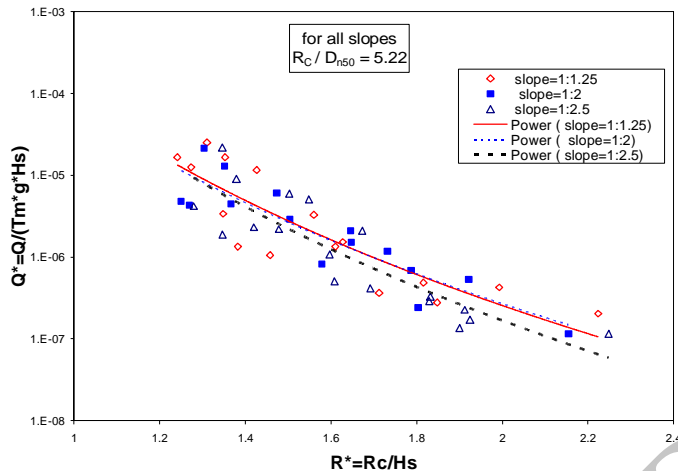
شکل ۹: نمودار همبستگی داده‌ها در شیب $1:1/25$.



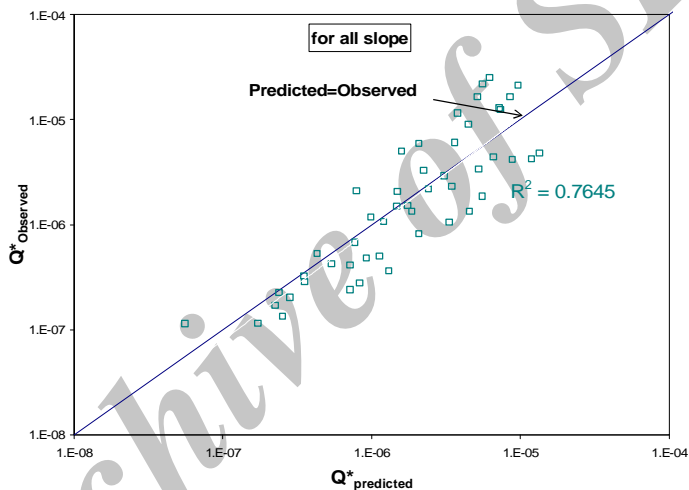
شکل ۱۰: نمودار همبستگی داده‌ها در شیب $1:2$.



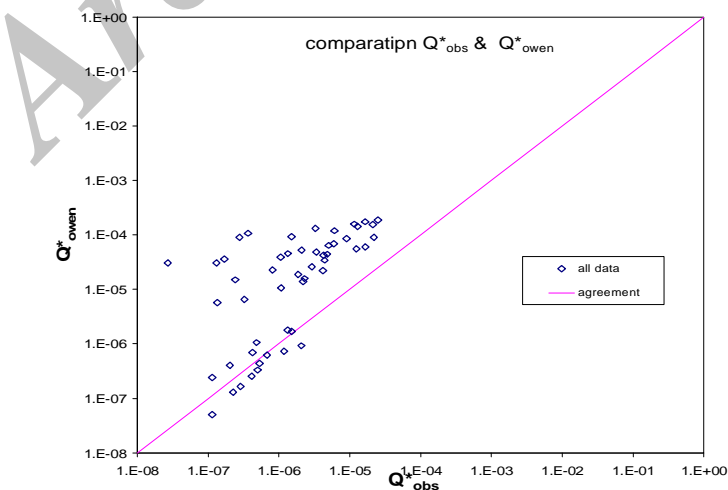
شکل ۱۱: نمودار همبستگی داده‌ها در شیب $1:2/5$.



شکل ۱۲: نمودار بررسی تأثیر شیب سازه برای سرریزی بدون بعد در مقابله ارتفاع آزاد بدون بعد در $\frac{Q}{H_S}$ در مقابل R_C / H_S . $R_c/D_{n50}=5.22$



شکل ۱۳: نمودار سرریزی بدون بعد مشاهده شده، بر حسب سرریزی بدون بعد پیشگویی شده از رابطه (۱۰) برای همه شیب ها.



شکل ۱۴: نمودار عامل سرریزی بدون بعد OWEN (۱۹۸۰)، در مقابل سرریزی بدون بعد مشاهده شده برای همه داده ها.

جمع‌بندی نتایج

حاصل از شیب‌های مختلف در یک نقطه همگرا شده که نشان‌دهنده از بین رفتن اثر شیب اولیه سازه بر میزان سرریزی است. از این رو برای سرریزی‌های زیاد، استفاده از سازه‌هایی با شیب تند که مصالح کمتری برای ساخت نیاز دارند، اقتصادی‌تر است. از طرفی سرریزی امواج از دیوارهای ساحلی شکل‌پذیر نسبت به دیوارهای ساحلی پایدار ایستا کمتر است که مؤیدی بر اقتصادی‌بودن دیوارهای ساحلی شکل‌پذیر است.

با کاهش شیب اولیه سازه، دبی میانگین سرریزی امواج کمی کاهش می‌یابد (به دلیل افزایش طول سطح زبری که آب باید تا قبل از سرریزی طی کند). تفاوت دبی میانگین سرریزی بین شیب‌های $1:1/25$ و $1:2$ بسیار ناچیز است (این نتیجه، مشابه نتایجی است که Owen در مورد شیب‌های مستقیم نفوذناپذیر به دست آورده بود). برای سازه‌هایی با سرریزی‌های زیاد، منحنی‌های

مراجع

- 1 - Besley, P. (1999). *Wave Overtopping of Seawalls, Design and Assessment Manual*, R&D Technical Report W 178. Hydraulics Research Ltd, Wallingford.
- 2 - Burcharth, H. F. and S.A. Hughes, (2003). *Coastal Engineering Manual, Chapter 5, part VI, "Design of Coastal Project Elements."*
- 3 - Goda, Y. (1971). "Expected rate of irregular wave overtopping of seawalls." *Coastal Eng.* In Japan, Vol. 14, PP. 43-52.
- 4 - Fukuda, N., Uno, T. and Irie, I. (1974). "Field observation of wave overtopping of wave absorbing revetment." *Coastal Eng.* In Japan, Vol.17, PP. 117-128.
- 5 - Battjes, J. A. (1974). *Wave Run-up and Overtopping*. Technical advisory committee on Protection against inundation, Haag.
- 6 - Ahrens, J. P. (1977). "Prediction of irregular wave overtopping." *CETA 77-7*, U.S.Army, Corps of Engineers, Coastal Engineering Research Center, Ft. Belvoir, Virginia December 1977b.
- 7 - Owen, M. W. (1980). "Design of seawalls allowing for wave overtopping." *Rep. EX924, Hydraulics Research* Wallingford, England.
- 8 - Owen, M. W. (1982). "The hydraulic design of seawall profiles." *Proc. Conf. On.Shoreline Protection, Institution of Civil Engineers*, London, PP.129-136.
- 9 - CIRIA/CUR, (1995). "Manual on the Use of Rock in Hydraulic engineering." *CUR/RWS Report 169, A.A.BALKEMA, Rotterdam*.
- 10 - Hughes, S. A. (1993). "Physical models and laboratory techniques in coastal engineering." *Advanced Series on Ocean engineering*, Vol. 7, World Scientific Publishing, Singapore.
- 11 - Van der Meer, J. W. (1992). "Conceptual design of rubble mound breakwater." *Proc. of Short Course on the Design and Reliability of Coastal Structures, 23rd Conf. Coastal Eng.*, Venice, ASCE, New York, PP. 447-510.
- 12 - Shankar, N. J. and Jayaratne, M. P. R. (2003). "Wave run-up and Overtopping on Smooth and rough Slope of Coastal Structures." *Ocean Engineering*, Vol. 30, PP. 221-238.
- 13 - Rouck, J. D. (2004). *The Land-Sea Margin: Wave Overtopping and Protection along the Coastline*. ICE Seminar , London, March 18th.

واژه‌های انگلیسی به فارسی به ترتیب استفاده در متن

- | | |
|-------------------------------|----------------|
| 1- Mean Overtopping Discharge | 2- Green water |
| 3- Splash | 4- Spray |
| 5- Smooth | 6- Rough |